

I - 37 不規則分布荷重を受ける連続ばりの解法

長崎大学工学部 学生員 ○林田 桂智
 長崎大学工学部 正員 岡林 隆敏
 長崎大学大学院 学生員 吉田 啓三

1. はじめに

信頼性理論を適用する設計の観点から、不確定要因を考慮した構造解析に関する研究が進められている。動的な解析は初期値問題になるのに対し静的な解析は境界値問題になるので、静的な不規則分布荷重を受ける構造物の解析においては、複雑な構造物に適用できる理論が確立していないように思われる。著者らは、不規則境界値問題の解法について研究を進めしており、単純ばりの解法については、すでに報告している。しかし、連続ばりを含む多径間ばりの一般的な解法はなされていない。そこで、本報告では、中間支点のある多径間連続ばりについて、外力が白色雑音過程の場合の静的応答解析の手法を提案する。

2. 連続ばりの基礎方程式

(1) 連続ばりの状態空間表示：2径間連続ばりに分布荷重 $q(x)$ が作用する場合、 x 点のたわみ $w(x)$ 、たわみ角 $\phi(x)$ 、曲げモーメント $M(x)$ 、せん断力 $Q(x)$ および未知の支点反力 $R_1(x)$ を次式で表す。

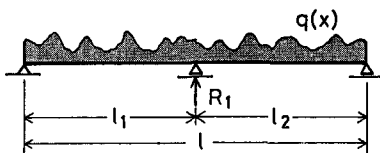
$$\frac{dw}{dx} = \phi, \quad \frac{d\phi}{dx} = -M/EI, \quad \frac{dM}{dx} = Q, \quad \frac{dQ}{dx} = -q(x), \quad dR_1/dx = 0 \quad \cdots \cdots (1)$$

ここで、状態変数 $\mathbf{X}(x)^T = [w(x) \ \phi(x) \ M(x) \ Q(x) \ R_1(x)]$ を導入し、外力ベクトルを $\mathbf{F}(x)^T = [0 \ 0 \ 0 \ -q(x) \ 0]$ と定義すると、(1)式は次のようにベクトル表示される。なお、図1、図2のような座標軸を用いる。

$$\frac{d}{dx} \mathbf{X}(x) = \mathbf{A} \mathbf{X}(x) + \mathbf{F}(x), \quad \text{境界条件 } \mathbf{X}(0) = \mathbf{X}_0, \quad \mathbf{X}(L) = \mathbf{X}_L \quad \cdots \cdots (2)$$

(2) 節点マトリックスについて：中間の節点にヒンジや支点がある場合、その点でそれぞれ $M(x)$, $w(x)$ が0になり、新しい未知変数 $\delta\theta_1$ (ヒンジ点の折れ角), R_1 (支点反力) が表れる。そこで1径間目の右端の状態ベクトルの $M_{\theta_1}^R$, $w_{\theta_1}^R$ を0にし、新しい未知量をそれと同じ性質をもつ要素に加えて、2径間目の左端の状態ベクトルとしなければならず図-1 不規則分布荷重を受ける連続ばりない。図-3 (a)は中間節点が支点の場合であり、(b)はヒンジの場合である。これを節点マトリックスと称する。節点マトリックス \mathbf{B}_e を用いると、2径間ごとの初期条件は次のようになる。

$$\mathbf{X}_{\theta_1}^L = \mathbf{B}_e \mathbf{X}_{\theta_1}^R \quad \cdots \cdots (3)$$



$$\begin{matrix} X_{\theta_1}^R & X_L^R \\ l_1 & l_2 \\ \hline & R_1 \end{matrix}$$

図-2 中間支点の状態変数

(3) 境界条件の処理：左端、右端の境界条件を \mathbf{X}_0 および \mathbf{X}_L でベクトル表示した場合、左端支点の回転、固定、自由端に対して、それぞれ $[\phi_0]$, $[Q_0]$, $[M_0, Q_0]$, $[w_0, \phi_0]$ の自由度がある。これを初期ベクトル \mathbf{X}_0 で定義すると、境界マトリックス \mathbf{B}_0 を用いて、左端境界条件は、次式で表される。

$$\mathbf{X}_0 = \mathbf{B}_0 \mathbf{X}_e \quad \cdots \cdots (4)$$

1	0	0	0	0	0	0	0	0
0	1	0	0	0	0	0	1	0
0	0	1	0	0	0	0	0	1
0	0	0	1	1	0	0	0	1
1	0	0	0	0	0	0	1	0

(a)

1	0	0	0	0	0	0	0	0
0	1	0	0	0	0	0	1	0
0	0	1	0	0	0	0	0	1
0	0	0	1	1	0	0	0	1
1	0	0	0	0	0	0	1	0

(b)

図-3 節点マトリックス

他方、右端では、移動、固定、自由端に対して、それぞれ $[w_e, M_e]$, $[w_e, \phi_e]$, $[M_e, Q_e]$ は0となる。これを終端ベクトル \mathbf{X}_e と定義すると右端の境界マトリックス \mathbf{B}_e を用いて、右端境界条件は、次式で表される。

$$\mathbf{B}_e \mathbf{X}_e = \mathbf{X}_e = \mathbf{0} \quad \cdots \cdots (5)$$

3. 不規則応答解析

(1) 共分散方程式の説明：不規則分布荷重 $q(x)$ を白色雑音過程でモデル化すると、外力ベクトル $\mathbf{F}(x)$ の確率特性は(6)式で表される。応答は、一般性を失うことなく、平均値応答と平均値回りの応答に分離することが可能である。

きる。以後平均値回りの応答について説明する。(2)式の解を考えると、線形微分方程式の理論より、1径間目、

$$(i) E[\bar{F}(x)] = \emptyset, (ii) E[\bar{F}(x)\bar{F}(x)^T] = Q(x)\delta(x-l_1) \quad \dots \dots \quad (6)$$

2径間目の解は(7)式、

$$\bar{X}(x) = \bar{\Phi}(x, 0)\bar{X}_0 + \int_0^x \bar{\Phi}(x, \lambda) \bar{F}(\lambda) d\lambda \quad \dots \dots \quad (7)$$

(8)式が与えられる。

$$\bar{X}(x) = \bar{\Phi}(x, l_1)\bar{P}_1\bar{\Phi}(l_1, 0)\bar{X}_0 + \bar{\Phi}(x, l_1)\bar{P}_1 \int_{l_1}^x \bar{\Phi}(l_1, \lambda) \bar{F}(\lambda) d\lambda + \int_{l_1}^x \bar{\Phi}(x, \lambda) \bar{F}(\lambda) d\lambda \quad \dots \dots \quad (8)$$

ただし、 $\bar{\Phi}(x_1, x_2)$ は、 $\frac{d}{dx}\bar{\Phi}(x, x_1) = A\bar{\Phi}(x, x_1)$, $\bar{\Phi}(x_1, x_1) = I$ の解より定義される状態遷移行列である。

応答の共分散は、 $R(x) = E[\bar{X}(x)\bar{X}(x)^T]$ で定義される。 $\bar{X}(x)$ の共分散応答は次式の解として与えられる。

(i) ($0 \leq x < l_1$) の場合、初期条件 $R_{x0}(0) = R_{x0}$

$$\frac{d}{dx}R_{x0}(x) = A R_{x0}(x) + R_{x0}(x)A^T + \bar{\Phi}(x, 0)E[\bar{X}_0 \bar{F}(x)^T]\bar{\Phi}(x, 0)^T + Q(x) \quad \dots \dots \quad (9)$$

(ii) ($l_1 \leq x < l$) の場合、初期条件 $R_{x0}(l_1) = R_{x0}^L = \bar{P}_1 R_{x0}^R \bar{P}_1^T$

$$\frac{d}{dx}R_{x0}(x) = A R_{x0}(x) + R_{x0}(x)A^T + \bar{\Phi}(x, l_1)E[\bar{X}_{l_1}^L \bar{F}(x)^T] + E[\bar{F}(x)(\bar{X}_{l_1}^L)^T]\bar{\Phi}(x, l_1)^T + Q(x) \quad \dots \dots \quad (10)$$

(2) 初期条件と外力の相関関数 : $E[\bar{X}_0 \bar{F}(x)^T], E[\bar{X}_{l_1}^L \bar{F}(x)^T]$

(7)式において $x = l_1$ とし、 $x = l$ とした(8)式の両辺に $\bar{F}(x)$ を掛けた後、両辺に平均操作を施す。さらに両辺に右端の境界マトリックスを掛けば、右端境界条件より、1径間目 \bar{R} は次式が得られる。

$$B' \bar{\Phi}(l, l_1) \bar{P}_1 \bar{\Phi}(l_1, 0) B E[\bar{X}_0 \bar{F}(x)^T] + B' \bar{\Phi}(l, l_1) \bar{P}_1 \bar{\Phi}(l_1, x) Q(x) = \emptyset \quad \dots \dots \quad (11)$$

これより $E[\bar{X}_0 \bar{F}(x)^T]$ を得る。また(3)式と(7)式より次式を得る。

$$E[\bar{X}_{l_1}^L \bar{F}(x)^T] = \bar{P}_1 \bar{\Phi}(l_1, 0) E[\bar{X}_0 \bar{F}(x)^T]$$

さらに、 $E[\bar{F}(x)(\bar{X}_{l_1}^L)^T]^T = E[\bar{X}_{l_1}^L \bar{F}(x)^T]^T$ の関係がある。

(3) 初期条件の共分散 R_x : まず $R_{x0}(0) = \emptyset$ の条件で(9)式より得られる解で $x = l_1$ としたものを $\bar{R}(l_1)$ とする。この条件のもとで(10)式の共分散方程式を解くと、初期条件の解を得ることができる。得られた解で $x = l$ のものを荷重項 $R(l)$ と称し、次式が得られる。

$$R_x(l) = \bar{\Phi}(l, l_1) \bar{P}_1 \bar{\Phi}(l_1, 0) R_{x0} \bar{\Phi}(l_1, 0)^T \bar{P}_1^T \bar{\Phi}(l, l_1)^T + P(l) \quad \dots \dots \quad (12)$$

(12)式の両辺に B' と B'^T を掛けると、 $B' R_x(l) B'^T$ の関係より次式を得る。

$$B' \bar{\Phi}(l, l_1) \bar{P}_1 \bar{\Phi}(l_1, 0) B \bar{R}_{x0} B^T \bar{\Phi}(l_1, 0)^T \bar{P}_1^T \bar{\Phi}(l, l_1)^T B'^T$$

$$+ B' \bar{\Phi}(l) B'^T = \emptyset \quad \dots \dots \quad (13)$$

(13)式より \bar{R} が得られる。ここに \bar{R} はそれぞれの境界条件に対する左辺の \emptyset でない境界条件を表している。

4. 数値解析と考察

図-4 は、たわみ、たわみ角、曲げモーメントおよびせん断力の標準偏差応答を、等分布荷重によるそれぞれの最大値 \bar{w}_{max} , $\bar{\phi}_{max}$, M_{max} および Q_{max} で基準化した値で示したものである。

図-4 (a), (c) は、たわみ変動と曲げモーメントの変動を図示したものである。それぞれの場合、変動は各スパン中央付近で最大となる。図-4 (b), (d) は、たわみ角の変動とせん断力の変動を図示したものである。(b)の場合、変動は左端と右端で最大となり、各スパンの中央付近で最小となる。(d)の場合、変動は中間支点で最大となり、各スパンの中央付近で最小となる。

さらに、多径間ばかりについても講演時に発表する予定である。

[参考文献] (1)高風白木, 枝信: 土木学会論文報告集第334号・1983年6月 (2)岡林: 土木学会論文報告集第316号・1981年12月 (3)岡林, 潘川, 吉田: 土木学会論文報告集第341号・1984年1月 (4)成因, 遠田: 伝達マトリックス法, 培風館, 1970年

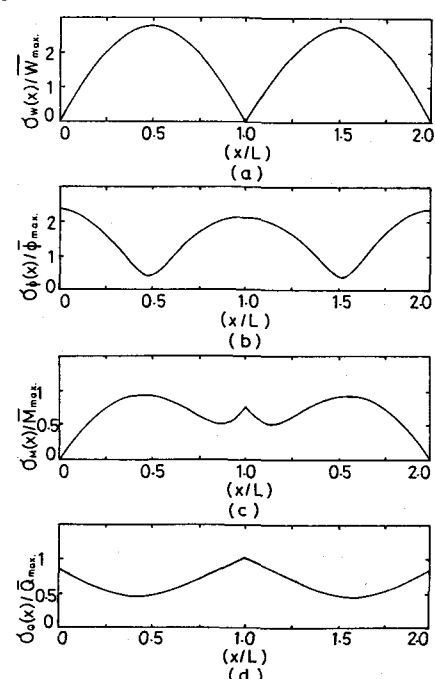


図-4 応答の標準偏差